

# Módulo de Teoría

## Clase 9, 22-02-2022

Anamaría Font V.

Universidad Central de Venezuela

LA-CoNGA-physics

mattermost.redclara.net@afont



Latin American alliance for  
Capacity building in Advanced physics  
**LA-CoNGA physics**



Cofinanciado por el  
programa Erasmus+  
de la Unión Europea



frontier x  
analytic

# Introducción a Teoría Cuántica de Campos

## Programa del curso

- Semanas 1-4 – Nicolás Bernal
  - Temas básicos: relatividad especial, mecánica clásica, mecánica cuántica, teoría clásica de campos
  - Cuantización del campo escalar libre
  - Cuantización del campo escalar con interacciones
  - Reglas de Feynman y amplitudes
  - Regularización
- Semanas 5-6 – Anamaría Font
  - Renormalización
  - Ruptura espontánea de simetría

## Bibliografía

- M. Peskin, D. Schroeder, An Introduction to Quantum Field Theory.
- D. Tong, Lectures on Quantum Field Theory.  
<https://www.damtp.cam.ac.uk/user/tong/qft.html>
- A. Zee, Quantum Field Theory in a Nutshell.
- M. Schwartz, Quantum Field Theory and the Standard Model.
- P. Ramond, Field Theory: A Modern Primer.
- M. Thomson, Modern Particle Physics.

## Evaluación

- Tareas semanales

## Horas de consulta via Zoom

- N. Bernal (@nicolasbernal): miércoles, 2pm – 3pm COT
- A. Font (@afont): viernes, 10am – 11pm COT

# Recap 2.0

## Divergencias

$\phi\phi \rightarrow \phi\phi$  en teoría  $\lambda\phi^4$  a orden  $\lambda^2$  incluye

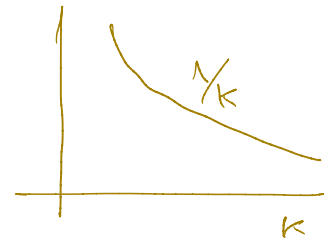
$$\propto \int d^4 k \frac{1}{k^2 - m^2 + i\epsilon} \frac{1}{(k+p)^2 - m^2 + i\epsilon}$$

$$P = P_A + P_B = P_1 + P_2 \rightarrow \int_0^\infty dk k^3 \frac{1}{k^2} \frac{1}{k^2} = \int_0^\infty dk \frac{1}{k}$$

la integral diverge cuando  $k \rightarrow \infty$

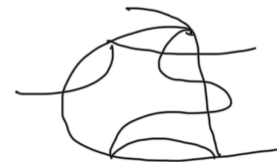
tiene divergencia ultravioleta (UV)

la divergencia es logarítmica



# Grado de divergencia superficial D

diagrama genérico → tipo de divergencia depende de



$$D = 4L - 2I$$

$L = \# \text{ de lazos}$ ,  $I = \# \text{ de líneas internas}$   
(buclees)

$$I_F \sim \underbrace{\int d^4 k_1 \int d^4 k_2 \dots \int d^4 k_L}_{\sim dK K^3} \underbrace{\frac{1}{k_1'^2 - m^2 + i\epsilon} \dots \frac{1}{k_I'^2 - m^2 + i\epsilon}}_{\sim \left(\frac{1}{K^2}\right)^\pm}$$

$$I_F \sim \int_0^\infty dk K^{4L-2I-1}$$

$D < 0$  integral superficialmente convergente, puede ser divergente

$$I_F \sim \int_0^\infty dk K^{D-1}$$

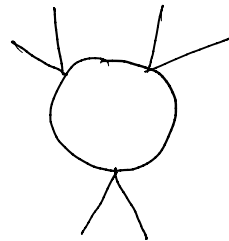
$D \geq 0$  integral divergente

$D=0$  div logarítmica,  $D=2$  div cuadrática

## Teorema de Weinberg

Un diagrama es convergente si su grado de divergencia superficial , y el de todos sus subdiagramas , es negativo

Ejemplos

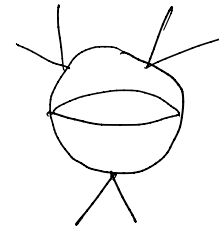


$$L=1, I=3$$

$$D = 4L - 2I = 4 - 6 = -2$$

convergente

no hay subdiagramas  
divergentes



$$L=3, I=7$$

$$D=12-14=-2$$

$D < 0$  pero no es convergente

$\exists$  subdiagrama divergente

$$\text{Diagram of a loop with a self-energy insertion} \quad L'=1, I'=2$$

$$D'=4-4=0$$

subdivergencia logarítmica

$D$  en función de  $V = \#$  de vértices,  $E = \#$  de líneas externas

conservación de momento  $\Rightarrow L = I - (V - 1)$

en  $\lambda\phi^4$  vértice   $\Rightarrow 4V = E + 2I$

sustituyendo en  $D = 4L - 2I \Rightarrow D = 4 - E$  ¡independiente de  $V$ !

OBS

- \* diagramas con  $E$  impar se cancelan por simetría  $\phi \rightarrow -\phi$
- \*  $E=0, D=4$  es la divergencia en la energía de vacío, no observable
- \* quedan 2 tipos con  $D \geq 0$  (divergentes)

$$E=2, D=2$$

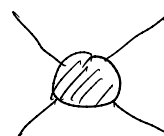
e.g. 

divergencia cuadrática

$$E=4, D=0$$

e.g. 

divergencia logarítmica



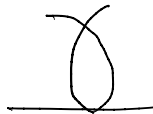
\*  $E > 4 \Rightarrow D = 4 - E < 0$  pero el diagrama puede ser divergente

e.g.



$$E = 6, D = 4 - 6 = -2$$

pero contiene



$$E' = 2 \\ D' = 0$$

subdivergencia logarítmica

\*  $D = 4 - E$  independiente de  $V$  porque  $\lambda$  es adimensional

tarea 4 ,  $L_{\text{int}} = -\frac{\lambda_5}{5!} \phi^5$  ,  $[\lambda_5] = -1$  dimensión (masa) $^{-1}$

$D$  aumenta con  $V$   
 $\exists$  infinitos diagramas divergentes

## 3 tipos de comportamiento UV

tipo de teoría	dimensión de constante de acople	divergencias	ejemplos
superrenormalizable	$> 0$	# finito de diagramas diverge superficialmente	$\lambda_3 \phi^3$
renormalizable	$= 0$	# finito de amplitudes diverge superficialmente, divergencias ocurren a todo orden	$\lambda \phi^4$ QED
no-renormalizable	$< 0$	todas las amplitudes divergen a un orden suficientemente grande	$\lambda_5 \phi^5$ gravedad

\* en una teoría renormalizable las divergencias se absorben  
en un número finito de parámetros, equivalentemente en un número  
finito de contratérminos

## Regularización

Después de rotación de Wick  $k^0 = i k_4$

### \* cut-off $\Lambda$

$$\int_{-\infty}^{\infty} k^{D-1} dk \rightarrow \int_{-\Lambda}^{\Lambda} k^{D-1} dk, \quad \Lambda \text{ tiene unidades de energía (masa)}$$

Ej.

$$\int \frac{d^4 k}{(2\pi)^4} \frac{1}{(k^2 - c^2 + i\epsilon)^2} = \frac{i}{16\pi^2} \left( \log \frac{\Lambda^2}{c^2} - 1 + \dots \right)$$

$\dots = \text{términos que se anulan para } \Lambda^2 \gg c^2$   
 $\log = \ln$



### \* regularización dimensional

$$\int \frac{d^4 k}{(2\pi)^4} \rightarrow \int \frac{d^d k}{(2\pi)^d}, \quad \varepsilon = 4-d$$

Para mantener  $\lambda$  adimensional se introduce un parámetro  $\mu$  (masa)  
 $\lambda \rightarrow \lambda \mu^\varepsilon \Rightarrow \lambda \mu^\varepsilon \phi^4$  tiene dimensión  $d = [L]$  ejercicio

Ej.  $\lambda^2 \int \frac{d^4 k}{(2\pi)^4} \frac{1}{(k^2 - c^2 + i\varepsilon)^2} \rightarrow \lambda^2 \mu^{2\varepsilon} \int \frac{d^d k}{(2\pi)^d} \frac{1}{(k^2 - c^2 + i\varepsilon)^2}$

$$= \frac{i \lambda^2 \mu^\varepsilon}{16\pi^2} \left( \frac{4\pi\mu^2}{c^2} \right)^{\varepsilon/2} \Gamma\left(\frac{\varepsilon}{2}\right)$$

$\varepsilon = 4-d$ ,  $\gamma = 0.5572..$

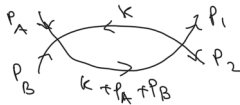
$$= \frac{i \lambda^2 \mu^\varepsilon}{16\pi^2} \left\{ \left( 1 + \frac{\varepsilon}{2} \log \frac{4\pi\mu^2}{c^2} + \dots \right) \left( \frac{2}{\varepsilon} - \gamma + \dots \right) \right\}$$

$\dots$  = términos de orden  $\varepsilon$

$$= \frac{i \lambda^2 \mu^\varepsilon}{16\pi^2} \left( \frac{2}{\varepsilon} - \gamma + \log 4\pi - \log \frac{c^2}{\mu^2} + \dots \right)$$

divergencias = polos en  $\varepsilon$

Regresamos a



$$P = p_A + p_B, \quad S = (p_A + p_B)^2$$

$$iM_2(s) = \frac{(-i\lambda)^2}{2} \int \frac{d^4 k}{(2\pi)^4} \frac{i}{k^2 - m^2 + i\epsilon} \frac{i}{(k+p)^2 - m^2 - i\epsilon}$$

Se usa el truco de Feynman:  $\frac{1}{ab} = \int_0^1 dx \frac{1}{[ax + b(1-x)]^2}$

Luego se cambia variable a  $\ell = k + xp$

$$iM_2(s) = \frac{\lambda^2}{2} \int_0^1 dx \underbrace{\int \frac{d^4 \ell}{(2\pi)^4} \frac{1}{(\ell^2 - c^2 + i\epsilon)^2}}_{\text{evaluada anteriormente}} , \quad c^2 = m^2 - x(1-x)s$$

$$I = \frac{i}{16\pi^2} \log \frac{\Lambda^2}{c^2} + \dots$$

$$iM_2(s) = \frac{i\lambda^2}{32\pi^2} \int_0^1 dx \log \frac{\Lambda^2}{m^2 - x(1-x)s}$$

$$iM_2(s) = \frac{i\lambda^2}{32\pi^2} \log \frac{\Lambda^2}{s}, \quad s \gg m^2$$

$\lambda$  en regularización dimensional

como antes se llega a

$$iM_2(s) = \frac{\lambda^2}{2} \int_0^1 dx \underbrace{\int \frac{d^4 l}{(2\pi)^4} \frac{1}{(l^2 - c^2 + i\epsilon)^2}}_{\text{evaluada anteriormente}} , \quad c^2 = m^2 - x(1-x)s$$

$$\frac{i\mu^\varepsilon}{16\pi^2} \left( \frac{2}{\varepsilon} - \gamma + 4\pi - \log \frac{c^2}{\mu^2} + \dots \right)$$

$$iM_2(s) = \frac{i\lambda^2 \mu^\varepsilon}{16\pi^2 \varepsilon} - \frac{i\lambda^2 \mu^\varepsilon}{32\pi^2} \int_0^1 dx \left[ \gamma - \log 4\pi + \log \left( \frac{m^2 - x(1-x)s}{\mu^2} \right) \right]$$

esquema MS (minimal subtraction)  
contratérmino absorbe polo en  $\varepsilon$

esquema  $\overline{\text{MS}}$  (modified MS)  
contratérmino absorbe polo en  $\varepsilon$   
 $\gamma - \gamma + \log 4\pi$

# Renormalización

Volvemos a la amplitud  $\phi\phi \rightarrow \phi\phi$  en  $\lambda\phi^4$

Refs. Zee, III.1  
Schwartz 15.4

12

$$iM = \cancel{X} + \cancel{\text{loop}} + \cancel{(s)} + \cancel{(t)} + \cancel{(u)} + O(\lambda^3)$$

$iM_2(s)$        $iM_2(t)$        $iM_2(u)$

$$iM = -i\lambda + \frac{i\lambda^2}{32\pi^2} \left[ \log \frac{\Lambda^2}{s} + \log \frac{\Lambda^2}{t} + \log \frac{\Lambda^2}{u} \right] + O(\lambda^3)$$

problema aparente:  $M$  depende de  $\Lambda \rightarrow \infty$

solución: entender el significado de  $\lambda$

$\lambda$  determina la magnitud de la interacción  $\phi^4$

Para medir  $\lambda$  se hace un experimento  $\phi\phi \rightarrow \phi\phi$  y se mide  $d\sigma/dQ^2$  a ciertos valores  $s_0, t_0, u_0$ . Como  $\frac{d\sigma}{dQ^2} \propto M^{-2}$  efectivamente se mide  $M$ , pero  $M$  también incluye las correcciones en  $\lambda^2$ . Lo que se mide se define como un  $\lambda$  renormalizado  $\lambda_R$  ( $\sigma$  ó  $\lambda_p$ ,  $p$  de physical en Zee) y por lo tanto

$$-i\lambda_R = -i\lambda + \frac{i\lambda^2}{32\pi^2} \left[ \log \frac{\Lambda^2}{s_0} + \log \frac{\Lambda^2}{t_0} + \log \frac{\Lambda^2}{u_0} \right] + \mathcal{O}(\lambda^3)$$

Esta ecuación relaciona la  $\lambda$  en el Lagrangiano  $L$  con el valor observado  $\lambda_R$

$$\lambda_R = \lambda - \frac{\lambda^2}{32\pi^2} L_0 \quad , \quad L_0 = \log \frac{\Lambda^2}{S_0} + \log \frac{\Lambda^2}{T_0} + \log \frac{\Lambda^2}{U_0}$$

para despejar  $\lambda$ ,  $\lambda = \lambda_R + a\lambda_R^2 + O(\lambda_R^3)$

$$\lambda_R = \lambda_R + a\lambda_R^2 - \frac{\lambda_R^2}{32\pi^2} L_0 + \dots \Rightarrow a = \frac{L_0}{32\pi^2}$$

$$\lambda = \lambda_R + \frac{\lambda_R^2}{32\pi^2} L_0 + O(\lambda_R^3)$$

se sustituye en  $M = -\lambda + \frac{\lambda^2}{32\pi^2} \underbrace{\left( \log \frac{\Lambda^2}{S} + \log \frac{\Lambda^2}{T} + \log \frac{\Lambda^2}{U} \right)}_L + O(\lambda^3)$

$$M = -\left(\lambda_R + \frac{\lambda_R^2}{32\pi^2} L_0\right) + \frac{\left(\lambda_R + \frac{\lambda_R^2}{32\pi^2} L_0\right)^2}{32\pi^2} L + O(\lambda_R^3)$$

daria  $\lambda_R^3, \lambda_R^4$  pero es  $O(\lambda_R^3)$

$$\mathcal{M} = -\lambda_R + \frac{\lambda_R^2}{32\pi^2} (L - L_0) + O(\lambda_R^3)$$

$$L - L_0 = \left( \log \frac{\Lambda^2}{S} + \log \frac{\Lambda^2}{t} + \log \frac{\Lambda^2}{u} \right) - \log \left( \frac{\Lambda^2}{S_0} + \log \frac{\Lambda^2}{t_0} + \log \frac{\Lambda^2}{u_0} \right)$$

$$\mathcal{M} = -\lambda_R + \frac{\lambda_R^2}{32\pi^2} \left( \log \frac{S_0}{S} + \log \frac{t_0}{t} + \log \frac{u_0}{u} \right) + O(\lambda_R^3)$$

finito, independiente de  $\Lambda$

además predice  $\mathcal{M}(S_1, t_1, u_1) - \mathcal{M}(S_0, t_0, u_0) = \frac{\lambda_R^2}{32\pi^2} \left( \log \frac{S_0}{S_1} + \log \frac{t_0}{t_1} + \log \frac{u_0}{u_1} \right)$

Ref. Zee, III.3

## Divergencias en $G^{(2)}$

$$G^{(2)}(x_1, x_2) = \frac{k}{x_1 - x_2} + \text{Diagram with loop } p \text{ at } x_1 \text{ and } k \text{ at } x_2 + \text{Diagram with loop } p+k+p \text{ at } x_1 \text{ and } q \text{ at } x_2 + \dots$$

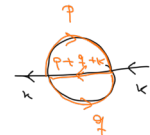
$$G^{(2)}(x_1, x_2) = \int \frac{d^4 k}{(2\pi)^4} e^{-ikx_1} e^{ikx_2} \tilde{G}^{(2)}(k_1 - k) \quad \text{transformada de Fourier}$$

$$\tilde{G}^{(2)} = \frac{i}{k^2 - m^2 + i\epsilon} + \frac{i}{k^2 - m^2 + i\epsilon} I_1 \frac{i}{k^2 - m^2 + i\epsilon} + \frac{i}{k^2 - m^2 + i\epsilon} I_2 \frac{i}{k^2 - m^2 + i\epsilon} + \dots$$

$$I_1 = -i\lambda \frac{1}{2} \int \frac{d^4 p}{(2\pi)^4} \frac{i}{p^2 - m^2 + i\epsilon} = i\lambda C_1 \left( \Lambda^2 - m^2 \log \frac{\Lambda^2}{m^2} + \dots \right)$$



$$I_2 = \frac{(-i\lambda)^2}{6} \int \frac{d^4 p}{(2\pi)^4} \int \frac{d^4 q}{(2\pi)^4} \frac{i}{p^2 - m^2 + i\epsilon} \frac{i}{q^2 - m^2 + i\epsilon} \frac{i}{[(k+p+q)^2 - m^2 + i\epsilon]}$$



Por invariancia de Lorentz

$$I_2 = D + \mathcal{E} k^2 + \mathcal{F} k^4 + \dots$$

$$D = I_2 \Big|_{k=0} \sim i C_2 \lambda^2 \Lambda^2 + \dots \quad D \text{ tiene divergencia cuadrática}$$

Para determinar  $\mathcal{E}$  se deriva respecto a  $r = k^2$ , luego se evalúa en  $k=0$

$$\frac{\partial I_2}{\partial r} = \frac{1}{2r} k^\mu \frac{\partial I_2}{\partial k^\mu} \xrightarrow{k=0} \int d^4 p \int d^4 q \frac{i}{p^2 - m^2 + i\epsilon} \frac{i}{q^2 - m^2 + i\epsilon} \frac{1}{[(p+q)^2 - m^2 + i\epsilon]^2}$$

divergencia logarítmica

$$\mathcal{E} \sim i C_3 \lambda^2 \log \frac{\Lambda^2}{m^2} + \dots, \quad \text{similarmente se obtiene que } \mathcal{F} \text{ es finita}$$

$$I_2 = i \lambda^2 \left( C_2 \Lambda^2 + C_3 \underline{k^2} \log \frac{\Lambda^2}{m^2} \right) + \dots$$

$$\tilde{G}^{(2)} = \frac{i}{\kappa^2 - m^2 + i\epsilon} \left\{ 1 - \frac{\lambda c_1 \lambda^2}{\kappa^2 - m^2 + i\epsilon} - \frac{\lambda^2 (c_2 \lambda^2 + c_3 \lambda^2 \log \frac{\lambda^2}{m^2})}{\kappa^2 - m^2 + i\epsilon} + \dots \right\}$$

serie geométrica

$$\tilde{G}^{(2)} = \frac{i}{\kappa^2 - m^2 + i\epsilon} \left( \frac{1}{1 + \frac{\lambda c_1 \lambda^2 + \lambda^2 (c_2 \lambda^2 + c_3 \lambda^2 \log \frac{\lambda^2}{m^2}) + \dots}{\kappa^2 - m^2 + i\epsilon}} \right) \xrightarrow{\text{O}(\lambda^3)}$$

$$\tilde{G}^{(2)} = \frac{i}{\kappa^2 - m^2 + c_1 \lambda \lambda^2 + c_2 \lambda^2 \lambda^2 + c_3 \lambda^2 \lambda^2 \log \frac{\lambda^2}{m^2} + i\epsilon + \dots}$$

se concluye .

$$\frac{1}{\kappa^2 - m^2 + i\epsilon} \rightarrow \frac{1}{(1+b)\kappa^2 - (m^2 - a) + i\epsilon}$$

$a = \lambda^2 (c_1 \lambda + c_2 \lambda^2 + \dots)$

$b = c_3 \lambda^2 \log \frac{\lambda^2}{m^2} + \dots$

$$\frac{1}{k^2 - m^2 + i\epsilon} \rightarrow \frac{(1+b)^{-1}}{k^2 - \frac{(m^2 - a)}{1+b} + i\epsilon}$$

- \* el polo en  $k^2$  se corre a  $m_R^2$  ( $\therefore m_P^2$  en Tee)
 
$$m_R^2 = \frac{m^2 - a}{1+b} = m^2 + 8m^2$$
renormalización de masa

$$m^2 = m_R^2 + c_1 \lambda \Lambda^2 + \dots$$

- \* el residuo en el polo se modifica de 1 a  $(1+b)^{-1}$   
 corresponde a renormalización del campo  $\phi$

$$\frac{1}{2} \partial_\mu \phi \partial^\mu \phi + \dots \rightarrow \frac{1}{2} (1+b) \partial_\mu \phi \partial^\mu \phi.$$

$$\frac{1}{k^2 \dots} \rightarrow \frac{1}{(1+b) k^2 \dots} \quad \text{en el propagador}$$

## CONTRATÉRMINOS

Hasta ahora: se ajustan los parámetros originales, e.g.  $\lambda$  en términos de  $\lambda_R$ , o  $m$  en términos de  $m_R$ , tal que la dependencia en  $\Lambda$  desaparece. Funciona a orden  $\gamma^2$ . Para demostrar que funciona a todo orden se proce de sistemáticamente incluyendo contratérminos en  $\mathcal{L}$  dependiente de  $\phi_R, m_R, \lambda_R$ :

$$\mathcal{L} = \underbrace{\frac{1}{2} \partial_\mu \phi_R \partial^\mu \phi_R - \frac{1}{2} m_R^2 \phi_R^2 - \frac{1}{4!} \lambda_R \phi_R^4}_{\mathcal{L}_R} + \underbrace{\frac{1}{2} \delta_2 \partial_\mu \phi_R \partial^\mu \phi_R - \frac{1}{2} S_m \phi_R^2 - \frac{1}{4!} \delta_\lambda \phi_R^4}_{\mathcal{L}_{CT}}$$

sólo se necesitan 3 contratérminos, todos de la forma de términos originales  
 Los coeficientes  $\delta_2, S_m, \delta_\lambda$  dependen de  $\lambda_R$ , se determinan iterativamente

Ejemplo : amplitud  $\phi\phi \rightarrow \phi\phi$

$$iM = \underbrace{X + X' + X'' + X''' + \dots}_{\text{se calculan con } L_R} + \underbrace{\dots}_{\text{contribución de } -\frac{\delta\lambda}{4!}\phi_R^4 \text{ en LCT}}$$

$$iM = -i\lambda_R + \frac{i\lambda_R^2}{32\pi^2} \left[ \log \frac{\Lambda^2}{s} + \log \frac{\Lambda^2}{t} + \log \frac{\Lambda^2}{u} \right] - i\delta\lambda$$

$$M \Big|_{s_0, t_0, u_0} = -\lambda_R \quad \Rightarrow \quad \delta\lambda = \frac{\lambda_R^2}{32\pi^2} \left[ \log \frac{\Lambda^2}{s_0} + \log \frac{\Lambda^2}{t_0} + \log \frac{\Lambda^2}{u_0} \right]$$

sustituyendo

$$iM = -i\lambda_R + \frac{i\lambda_R^2}{32\pi^2} \left[ \log \frac{s_0}{s} + \log \frac{t_0}{t} + \log \frac{u_0}{u} \right] + O(\lambda_R^3)$$

igual que antes

Próximamente

reglas de Feynman con contratérminos

grupo de renormalización



<http://laconga.redclara.net>



[contacto@laconga.redclara.net](mailto:contacto@laconga.redclara.net)



lacongaphysics



Latin American alliance for  
Capacity buildiNG in Advanced physics

LA-CoNGA physics



Cofinanciado por el  
programa Erasmus+  
de la Unión Europea

El apoyo de la Comisión Europea para la producción de esta publicación no constituye una aprobación del contenido, el cual refleja únicamente las opiniones de los autores, y la Comisión no se hace responsable del uso que pueda hacerse de la información contenida en la misma.